

傾斜面上での碎波帶内の底部摩擦の変化について

大阪大学工学部 正員 工博 橋木 亭

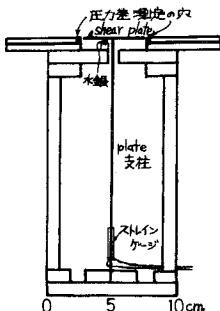
大阪大学工学部 正員 工修 岩田 好一郎

兵庫県庁 ○正員 工修 松本 昇

1. 緒言： 橋木・岩田・中辻は以前 Keller-Levine-Whitham の段波理論に底部摩擦項 ($f = UU/U_0$) を導入して底部摩擦係数 $= 0.02 \sim 0.2$ と種々変化させて数値計算を行なって、碎波後の波高減衰に及ぼす底部摩擦力の効果を検討を加えていた。しかし碎波帶内の底部摩擦力の評価の仕方が実際現象に即応するものか否か充分検討されていないため、碎波帶内の波高減衰に及ぼす底部摩擦力の効果を正確に論議しているとはいい難い。そこで、底部摩擦力の実態を的確に把握するため、今回底部摩擦力測定装置（以後 shear meter と称する）を製作し、水理実験を行なって碎波帶内の底部摩擦力を実測してその特性について検討を加えて、その一部を報告する次第である。

2. 実験装置と実験方法： 本論で用いる底部摩擦力測定装置は図-1 に示すような型のもので、既往の岩垣・土屋らの研究成果を考慮して製作されたものでその特徴については橋木・岩田・久保が詳述しているのでここでは省略する。用いた shear plate は 5cm (波進行方向) $\times 8\text{cm} \times$ 厚さ 0.03cm のステンレス板で、受感部の固有振動周期は 1.5s である。底面摩擦力は shear plate に作用する力から波面圧力勾配による力を差し引いて求めめる必要があるため、shear plate 両端部と相対する支持棒に受压管を埋込み shear plate 両端部に作用する圧力の差を差圧計により求めて底部摩擦力の抽出を行なった。また、shear plate 下の流れは図-1 に示すように水銀で遮断されている。実験は $1/40$ の一様傾斜面で行なわれたが、shear plate は傾斜面と一致するよう shear meter を傾斜面に取り付けてある。実験はまず shear meter を碎波帯内の測定地点に設置し、その後水深を充分深くして碎波しない状態にて微小振幅波を生起させ層流境界層理論値と実測値の一一致度合を確認した後、所定の水深にむだし碎波後の波の底部摩擦力を計測した。測定地点は碎波直前より shear plate 面が水面からでない範囲の汀線近傍までである。実験波は T_0 (周期) = $0.8, 1.0, 1.2, 1.5, 2.0\text{sec}$, 沖波振幅 $H_0 = 4.7\text{cm} \sim 8.7\text{cm}$ である。なお、 $1/40$ 勾配では碎波型は spilling 型と plunging 型に大別されるが、 $1/5$ 勾配のように plunging 型碎波は horizontal roller の形成をみるが如きや、な碎け方で spilling 型碎波との差異は明確ではない。また実験は大阪大学工学部土木工学科教室、室内鋼製 2 次元水槽で行なわれ ($30\text{m} \times 10\text{m} \times 0.8\text{m}$)、造波板前面水深は 62.5cm である。

3. 実験結果とその考察： 図-2 は碎波後の波の時間波形と底部摩擦力の時間波形の関係を示したものである。同図によれば碎波帶内の波の伝播にともなう底部摩擦力の変化が



判明するべく、波自体が著しく非対称なために底部摩擦力の時間波形の非対称性が著しい。波の峰と波の進行方向に作用する最大底部摩擦力の位相のずれは碎波点ではほぼ 45° であるが、水深減少とともに位相のずれは小さくなり $h/h_b = 1$ で 30° と小さくなっている。なお h_b は碎波点の水深、 h は任意点の水深である。図-2によれば、波の進行方向に作用する最大底部摩擦力は碎波後一時碎波時の値より小さくなるが、 $h/h_b = 0.39$ で碎波時の値と等しくなりそれ以浅では水深の低減によって大きな値をとることが認められる。一方、波の進行と逆方向に作用する最大底部摩擦力は上述の波の進行方向に作用する底部摩擦力と比べてその絶対値は小さく、また水深の減少とともに一様に低減していく $h/h_b = 0.1$ ではほぼ0に近い値となつている。 $h/h_b = 0.1$ での底部摩擦力は波の進行方向(図-2では正の方向)に全体的に移動するような形をとつてゐるが、これは一つにはWave set-upの効果によるものと推察され、著者らはこの点につき検討中である。この波の進行あるいは逆方向に作用する最大底部摩擦応力を (ζ_{max}/sgH) (ζ :流体密度、 g :重力加速度、 H :波高)で無次元化して h/h_b との関係を示すのが図-3であつて、同図には微小振幅層流境界層理論値 $T_{\text{max}}/sgH = (\sqrt{2}/gs \sinh kh)(\frac{\pi}{L})^{3/2}$ の値も比較的示してある。なお $T_{\text{max}} = \text{最大底部摩擦応力}$ 、 $\zeta = \text{流体の動粘性係数}$ 、 $k = 2\pi/L$ 、 $L = \text{水深}h$ での波長、 $T = \text{周期}$ である。同図によれば波の進行方向に作用する (ζ_{max}/sgH) は h/h_b が小さくなるにつれて増大して $h/h_b \leq 0.5$ から急に大きくなり $h/h_b = 0.1$ では $h/h_b = 1.0$ (碎波点)で約8.5倍の大きさの値をとつてゐる。なお、 $h/h_b \geq 0.5$ では (ζ_{max}/sgH) は層流理論値とほぼ同じ程度の値をとるが、 $h/h_b < 0.5$ では層流理論値より大きくなり $h/h_b = 0.1$ では理論値の2倍強の値となる。一方、波の進行と逆方向に作用する (ζ_{max}/sgH) は (ζ_{max}/sgH) と異なり絶対値は小さく、 h/h_b の変化とともにてもあまり変化せず $0.5 \sim 1.0$ の値を取つて層流理論値よりもかなり小さくその傾向は h/h_b が小さい程大きいことが認められる。

- 1) 横木・岩田・中辻：45年度関西支部年講演会集
- 2) 岩垣・土屋・坂井：オリジナル工学講演会講演集
- 3) 横木・岩田・久保：49年度関西支部年講演会集

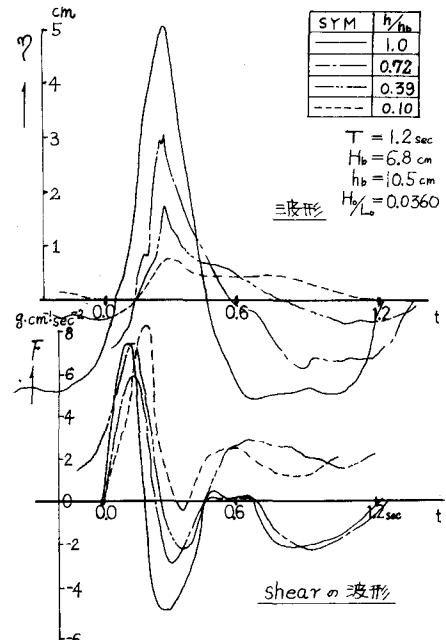


図-2 底部摩擦力の時間波形の一例

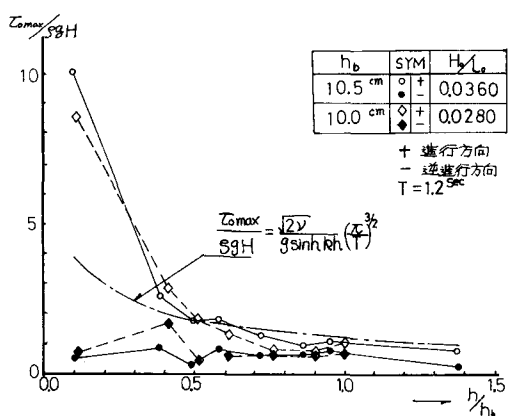


図-3 h/h_b と ζ_{max}/sgH の関係